## • 病例报道 •

## 肝梅毒的 MRI 表现一例

顾青,王关顺,包颜明,田伟

## 【中图分类号】R445.2; R575 【文献标识码】D 【文章编号】1000-0313(2006)02-0206-01

临床资料 患者,男,66 岁。腹痛、黄疸伴鼻塞、发现颈部包块 20 余天人院。无肝炎、结核病史,否认治游史。查体:神清,皮肤巩膜黄染,后鼻腔充血,右下颈部舌骨角下有一约 2 cm×2 cm 包块。心、肺无异常,肝脾未扪及,腹水征阴性。腹部 B超:肝脏散在低回声结节。肝功能:总胆红素 52  $\mu$ mol/l,直接胆红素 37  $\mu$ mol/l,ALT 64 U/l、AST55 U/l、r-GT 47 U/l。梅毒螺旋体明胶凝集试验阳性。

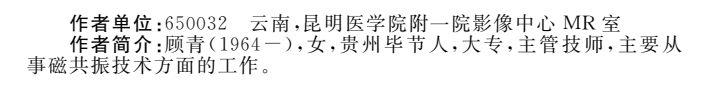
MRI  $T_2$ WI上可见肝脏弥漫分布大小不等的结节样稍高信号,病变直径0.2~2.0 cm,边界模糊,肝脏体积稍大,肝血管变细; $T_1$ WI上未见异常,病变与肝实质呈等信号;注入 Gd-DTPA 后扫描全肝呈不均匀信号,病灶与肝实质强化程度类似显示不清,肝边缘弥漫强化(图 1~4)。MR 诊断:肝脏弥漫性病变并肝大,考虑炎性病变可能性大。

讨论 梅毒是一种由梅毒螺旋体引起的性传播性疾病,临床分3期:一期为硬下疳;二期为皮肤梅毒疹;三期为树胶样肿,主要是由于迟发超敏反应所引起皮肤、内脏及中枢神经系统等的梅毒性病变。肝梅毒出现于第二期[1.2] 及第三期[3],而肝树胶肿仅发生

于近 1/3 未经治疗的患者,通常是在潜伏期以后  $3\sim15$  年出现 1/3 。临床症状表现为腹痛、黄疸、体重减轻等,也可无症状。 肝功能化验胆红素、ALT、AST 及  $\gamma$ -GT 可升高。B超示多个大小不一的低回声病灶。CT 表现为多个低密度灶,而钙化很少见。病理学肉眼观树胶肿有一定弹性,质韧;镜下,树胶肿中央为干酪样坏死物质,其中有残留的弹力纤维,周围的炎性反应较突出,尚可见到闭塞性小动脉内膜炎和血管周围炎。树胶肿易发生纤维化,常有广泛疤痕形成,极少钙化,需与结核性干酪样坏死鉴别 1/3

肝梅毒树胶肿的诊断应根据相应的临床症状、血清学试验、影像表现、病理结果及在组织中找到梅毒螺旋体<sup>[6,7]</sup>。本例病灶表现为长 T<sub>2</sub> 信号,在 T<sub>1</sub>WI 平扫及增强像上与肝实质呈等信号而显示不清。MR 能直接多平面、多参数成像,对发现肝梅毒树胶肿病变较敏感,但表现无特异性,诊断时仍需综合考虑。本病例有腹痛、黄疸,MR 发现肝弥漫结节病灶,梅毒螺旋体明胶凝集试验阳性,基本可以确诊为肝梅毒树胶肿。

肝梅毒树胶肿临床上需与弥漫性肝癌、肝结核相鉴别。弥漫性肝癌患者一般病程较短伴有全身消耗,多数患者合并肝硬化,血甲胎蛋白升高,CT扫描表现为肝内弥漫性小结节,MRI



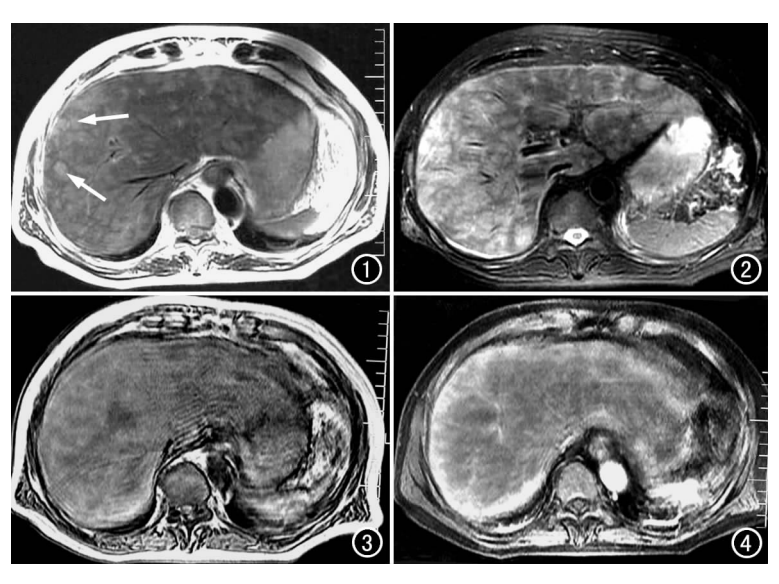


图 1  $T_2$  WI 示称漫分布大小不等的结节(箭)。 图 2 抑脂  $T_2$  WI。图 3 平扫  $T_1$  WI 上肝突质信号普遍减低,且不均匀。 图 4 抑脂增强  $T_1$  WI,肝边缘强化明显,肝实质内信号不均,未见结节状强化病灶。

示肝内多发结节状长  $T_1$ 、长  $T_2$  信号,Gd-DTPA 增强后病灶可有强化。肝结核患者多数有低热、盗汗等症状或其它脏器结核病史,CT 平扫结核结节一般呈低密度,边缘清或不清,增强时无明显强化,CT 发现病灶内钙化是肝结核的有力证据。MRI 对发现结核灶钙化不及 CT,结核结节 MRI 信号变化多样,一般呈略长  $T_1$  和略长  $T_2$  信号,且信号不均。

## 参考文献:

- [1] 杨忠渝. 二期梅毒伴肝脏损害 1 例报告[J]. 中国皮肤性病学杂志 1997,11(6);381.
- [2] 朱建华,陈志辉. 梅毒并发严重肝损害 1 例[J]. 中华肝脏病杂志, 2003,11(1):29.
- [3] 刘小方,张浩,李东波. 肝梅毒—例[J]. 肝胆胰外科杂志,1998,10 (4),195
- [4] Zeltser R, Kurban AK. Syphilis[J]. Clin Dermatol, 2004, 22(6): 461-468.
- [5] 梁成华,林国红,杨茂栋,等. 肝梅毒树胶肿 1 例[J]. 诊断病理学杂志. 1995,2(1):40.
- [6] 李方跃, 耿晓平. 肝梅毒瘤(附二例报告)[J]. 安徽医学,1994,15 (1).41.
- [7] Witkowski JA, Parish LC. The Great Imitator: Malignant Syphilis with Hepatitis[J]. Clin Dermatol, 2002, 20(2):156-163.

(收稿日期:2005-03-16)